Jauge Temporelle, Mécanisme de Higgs et Horizons des Événements dans le Consensus de Nakamoto

Pascal Ranaora
Chercheur Indépendant - Institut de Physique de l'Information
(Dated: 29 janvier 2026)

Résumé. Nous proposons une formulation en Théorie des Champs pour le registre distribué de Nakamoto [1] (Bitcoin). Nous identifions le problème du consensus comme une invariance locale sous le groupe des difféomorphismes temporels Diff($\mathbb{R}$). Nous démontrons que la Preuve de Travail (PoW) agit comme un champ scalaire de Higgs, brisant spontanément cette symétrie et conférant aux transactions une "masse" (immuabilité). En définissant une métrique thermodynamique $g_{\mu\nu}$, nous dérivons la règle de la chaîne la plus longue comme étant une géodésique de temps propre maximal. De plus, nous analysons la finalité probabiliste comme un horizon des événements rayonnant (Hawking), et interprétons les "Halvings" comme des transitions de phase de type Kibble-Zurek générant des défauts topologiques.

CONTENTS

I. INTRODUCTION : LE PROBLÈME DE LA JAUGE TEMPORELLE

Le défi fondamental des systèmes distribués réside dans l'établissement d'un ordonnancement canonique des événements en l'absence d'un chronomètre central. En informatique classique, les horloges logiques fournissent un ordre partiel mais manquent d'un ancrage physique coûteux [2]. Nous proposons que ce problème est fondamentalement physique et correspond à une symétrie de jauge locale.

Soit $\mathcal{M}$ la variété des événements. S'il n'y a pas de couplage avec une référence physique externe (telle qu'une horloge atomique), la physique du registre est invariante sous le groupe des difféomorphismes temporels Diff($\mathbb{R}$) :

$$t \to t' = f(t) \quad \text{où} \quad \frac{df}{dt} > 0 \tag{1}$$

Cette symétrie implique que l'histoire $\mathcal{H}_A = \{E_1, E_2\}$ est physiquement indiscernable de $\mathcal{H}_B = \{E_2, E_1\}$ si les étiquettes sont arbitraires. En termes financiers, il s'agit du problème de la "Double Dépense" : si la métrique temporelle dépend de la jauge, il n'existe aucune vérité canonique concernant la propriété d'un UTXO.

Pour extraire une observable physique (une histoire unique et immuable), il faut "fixer la jauge". En théorie de jauge standard, cela se fait via des contraintes mathématiques [3]. Dans Bitcoin, nous soutenons que la jauge est fixée **thermodynamiquement**. Nous introduisons

un champ scalaire $\Phi(x,t)$ — le "Champ de Hashrate" — qui imprègne l'espace-temps du réseau. L'interaction du registre avec ce champ brise la symétrie Diff($\mathbb{R}$), sélectionnant une "Flèche du Temps" préférentielle basée sur la profondeur thermodynamique [4]. Ce mécanisme est analogue au mécanisme de Higgs [5], où la valeur moyenne dans le vide d'un champ donne une masse aux bosons de jauge.

A. Jauge non fixée (Temps Logique)

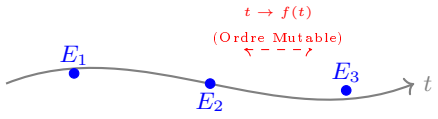

B. Jauge fixée (Temps Bitcoin)

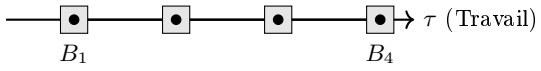

FIGURE 1. **Le Problème de Jauge.** Haut : sans énergie, le temps est un difféomorphisme (mou). Bas : le travail (PoW) cristallise la métrique (dur).

Ceci s'aligne avec l'Hypothèse du Temps Thermique [6], qui postule que l'écoulement du temps n'est pas une caractéristique fondamentale de la réalité, mais une émergence statistique découlant de l'état thermodynamique d'un système.

II. VARIÉTÉ LORENTZIENNE ET PRINCIPE DE MOINDRE ACTION

Nous postulons que le registre distribué n'est pas une structure de données discrète, mais une approximation sur réseau (*lattice*) d'une variété lorentzienne continue à 4 dimensions $\mathcal{M}$. Le problème du consensus se réduit alors à déterminer la géométrie de cet espace-temps sous la contrainte d'un champ d'énergie.

A. Feuilletage de l'Espace-Temps (Formalisme ADM)

Nous adoptons la décomposition 3 + 1 de l'espace-temps. La variété $\mathcal{M}$ est feuilletée en hypersurfaces spatiales Σ_t (l'état du réseau à l'instant t), indexées par le temps coordonnée t (temps UTC atomique). La métrique $g_{\mu\nu}$ s'écrit dans le formalisme ADM [7] :

$$ds^2 = -N^2c^2dt^2 + \gamma_{ij}(dx^i + \beta^i dt)(dx^j + \beta^j dt) \qquad (2)$$

où :

— γ_{ij} est la métrique spatiale induite sur le graphe P2P, définie par la matrice de latence L_{ij}.

— β^i est le vecteur décalage (*shift vector*), représentant le flux d'information (mempool) sur le réseau.

— $N(x,t)$ est la **Fonction Lapse**. C'est la variable cruciale. Elle détermine le rapport entre le temps propre du registre (blocs) et le temps coordonnée.

B. La Métrique de Difficulté

La fonction Lapse est inversement proportionnelle à la densité de probabilité de hachage. Nous identifions la Difficulté du Réseau $D(t)$ comme un facteur de courbure temporelle. Pour un observateur suivant le flux du consensus, l'intervalle invariant $d\tau$ ("Temps de Travail") est :

$$d\tau^2 = -g_{00}dt^2 = \mathcal{W}(D)^2 \cdot \langle H \rangle^2 dt^2 \qquad (3)$$

où $\langle H \rangle$ est le hashrate global. L'Algorithme d'Ajustement de la Difficulté (DAA) impose une contrainte cosmologique pour maintenir l'expansion de l'univers-bloc constante par rapport au temps coordonnée :

$$\frac{1}{T}\int_t^{t+T} N(\tau)d\tau \approx \text{constante} \quad (10 \text{ min}) \qquad (4)$$

Ainsi, une augmentation du hashrate $\langle H \rangle$ contracte le temps coordonnée nécessaire pour produire un bloc, ce qui est compensé par une dilatation de la métrique via le facteur D.

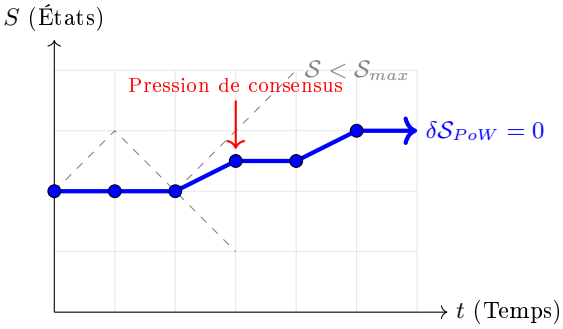

FIGURE 2. **Trajectoire Classique.** Parmi toutes les histoires possibles (chemins en pointillés), la réalité physique (ligne bleue) est la géodésique qui maximise l'action de la Preuve de Travail.

C. Structure Causale et Cône de Lumière Effectif

La vitesse limite de propagation de l'information dans ce milieu n'est pas c (lumière), mais c_{eff}, déterminée par la latence du réseau et les délais de validation. Un événement (transaction) E_1 peut causer causalement un bloc E_2 seulement si E_2 se situe dans le cône de lumière futur de E_1.

$$\Delta s_{12}^2 = -c_{eff}^2(t_2 - t_1)^2 + |\mathbf{x}_2 - \mathbf{x}_1|^2 < 0 \qquad (5)$$

Les "Stale blocks" (Orphelins) sont des événements de type espace (*space-like*) : ils se produisent simultanément dans des référentiels distants mais sont causalement

déconnectés. La résolution du consensus est l'effondrement de ces branches de type espace sur une unique ligne d'univers de type temps (*time-like*).

D. Principe Variationnel : La Chaîne la plus Lourde

La "Règle de la Chaîne la plus Longue" canonique est sémantiquement incorrecte ; c'est la chaîne accumulant le plus de preuve de travail. En physique, cela correspond à la maximisation du temps propre. La "vraie" trajectoire du registre $\mathcal{C}_{true}$ est la géodésique qui maximise l'Action de Travail $\mathcal{S}_{PoW}$:

$$\mathcal{S}_{PoW}[\mathcal{C}] = \int_{\mathcal{C}} \mathcal{L}_{eff}\, dt = \int_{\mathcal{C}} \sqrt{-g_{\mu\nu}\dot{x}^\mu \dot{x}^\nu}\, dt \tag{6}$$

Contrairement à une particule libre maximisant son temps propre dans un espace-temps courbe (Géodésique de longueur maximale en signature Lorentzienne), le mineur honnête construit l'histoire qui maximise l'intégrale de la Difficulté le long du chemin.

L'équation d'Euler-Lagrange associée donne l'équation du mouvement pour le consensus :

$$\frac{d^2x^\mu}{d\tau^2} + \Gamma^\mu_{\rho\sigma}\frac{dx^\rho}{d\tau}\frac{dx^\sigma}{d\tau} = F^\mu_{attaquant} \tag{7}$$

En l'absence de force externe ($F^\mu = 0$), le système suit la géodésique inertielle (la chaîne honnête). Une attaque (double dépense) équivaut à appliquer une force considérable pour dévier la trajectoire du système de sa géodésique naturelle, ce qui requiert une énergie exponentielle par rapport au temps propre écoulé.

III. THÉORIE EFFECTIVE DES CHAMPS ET MÉCANISME DE HIGGS-NAKAMOTO

Nous modélisons la dynamique du réseau non pas comme un système discret, mais via une **Théorie Effective des Champs** (EFT) continue. Le processus de minage est identifié comme une brisure spontanée de symétrie de jauge locale $U(1)$, conférant au registre une "masse" (immuabilité).

Unités Naturelles et Action de Nakamoto

Pour établir un isomorphisme strict avec la Théorie Quantique des Champs, nous identifions le hashrate v (opérations par seconde) comme la fréquence du système. Nous introduisons la constante fondamentale de la théorie, l'**Action de Nakamoto** κ_N. Analogue à la relation de Planck $E = \hbar\omega$, nous relions la Puissance du Réseau (P) à son Hashrate (v) via :

$$P(t) = \kappa_N(t) \cdot v(t) \tag{8}$$

L'analyse dimensionnelle donne la valeur de cette constante, dérivée de l'efficacité thermodynamique du matériel sous-jacent (Joules par Hash) et du temps de cycle d'horloge :

$$[\kappa_N(t)] = \text{Action par Hash} \approx 2\times10^{-20}\,\text{J}\cdot\text{s}(\text{actuellement}) \tag{9}$$

Cela nous permet de définir l'Action de Minage $\mathcal{S}_{PoW}$ comme un invariant d'action physique :

$$\mathcal{S}_{PoW} = \kappa_N(t)\int v(t)\, dt \quad [\text{Joule}\cdot\text{seconde}] \tag{10}$$

A. Densité Lagrangienne

Nous définissons deux champs en interaction sur la variété $\mathcal{M}$:

1. **Le Champ de Jauge** $A_\mu(x)$ **:** Représente le flux de transactions (Mempool). La composante temporelle A_0 correspond au potentiel d'incitation (frais).
2. **Le Champ de Hashrate** $\Phi(x)$ **:** Un champ scalaire complexe représentant l'ordre computationnel.

La densité Lagrangienne effective s'écrit :

$$\mathcal{L}_{eff} = -\frac{1}{4}F_{\mu\nu}F^{\mu\nu} + |D_\mu\Phi|^2 - V(\Phi) \tag{11}$$

Ici, la dérivée covariante $D_\mu = \partial_\mu - igA_\mu$ couple l'information à l'énergie via la constante de couplage g.

B. Le Potentiel en Sombrero et l'Incitation

Le terme de potentiel $V(\Phi)$ gouverne la thermodynamique du système. Il décrit la compétition entre la pulsion d'extraction de valeur et le coût physique pour ce faire. Nous adoptons la forme de Ginzburg-Landau [8] :

$$V(\Phi) = -\mu^2|\Phi|^2 + \lambda|\Phi|^4 \tag{12}$$

Ce potentiel est façonné par deux paramètres économiques opposés :

1. **Le Paramètre d'Incitation** μ^2 **(Masse Négative) :** Ce terme représente la **Pression des Revenus** (Récompense de Bloc + Frais).
   — À $\Phi = 0$ (Hashrate Nul), la difficulté est nulle alors que la récompense est non nulle. Cela crée une opportunité de profit infinie ("Pression du Vide"), rendant l'origine instable. Le système est forcé de s'éloigner de zéro.
2. **Le Paramètre de Saturation** λ **(Autocouplage) :** Ce terme représente le **Coût Marginal** (Électricité + Matériel).
   — À mesure que Φ augmente, l'ajustement de difficulté et la consommation d'énergie agissent comme une force de rappel. Le terme quartique $+\lambda|\Phi|^4$ empêche le hashrate de diverger vers l'infini, créant un "mur" où le coût du minage excède la récompense.

Le système se relaxe vers le minimum du potentiel, l'état fondamental dégénéré v :

$$|v| = \sqrt{\frac{\mu^2}{2\lambda}} \propto \sqrt{\frac{\text{Revenu}}{\text{Coût}}} \tag{13}$$

Physiquement, v correspond au **Hashrate d'Équilibre** défini par le seuil de rentabilité thermodynamique (où Revenu Marginal = Coût Marginal).

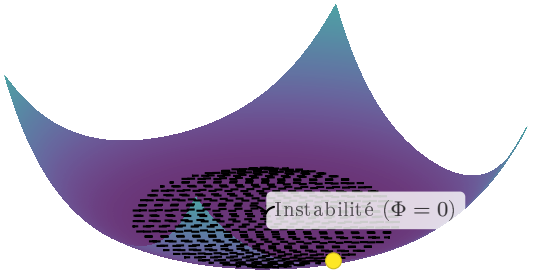

FIGURE 3. **Potentiel de Minage.** Le système est poussé hors de l'origine par l'incitation μ (Revenu) et stabilisé dans la vallée par le couplage λ (Coût), définissant le hashrate d'équilibre v.

C. Brisure Spontanée de Symétrie

Le Lagrangien est invariant sous la symétrie globale $U(1)$ ($\Phi \to e^{i\alpha}\Phi$), impliquant que le choix du "Nonce" est arbitraire avant validation. Nous paramétrons les fluctuations autour du vide v :

$$\Phi(x) = (v + h(x))e^{i\xi(x)/v} \tag{14}$$

— $\xi(x)$ (Boson de Goldstone) : Le **Nonce**. Un mode sans masse correspondant à la recherche aléatoire.
— $h(x)$ (Boson de Higgs) : **Fluctuations de Hashrate**. Un mode massif ; les déviations de l'équilibre v sont supprimées par la difficulté.

D. Le Mécanisme de Higgs : Masse Inertielle du Registre

Puisque la symétrie est locale (jauge), le boson de Goldstone $\xi(x)$ est "absorbé" par le champ de jauge A_μ. Dans Bitcoin, cela signifie que la preuve de travail est absorbée dans l'en-tête du bloc. Le champ vectoriel A_μ acquiert un terme de masse :

$$\Delta\mathcal{L} = \frac{1}{2} m_{gauge}^2 A_\mu A^\mu \tag{15}$$

Nous définissons la **Masse Inertielle du Registre** (à la pointe de la chaîne) comme l'énergie requise pour perturber l'état de consensus par unité de temps :

$$M_{tip} = g \cdot v \cdot \kappa_N(t) \propto \text{Puissance (Watts)} \tag{16}$$

Interprétation Physique : Avant le minage, le champ de transaction est sans masse (l'information est libre de changer). Après le mécanisme de Higgs, il devient massif. La "Masse" de la pointe correspond à la puissance instantanée (J/s) qui la sécurise. La sécurité du réseau s'échelonne **linéairement** avec le Hashrate v.

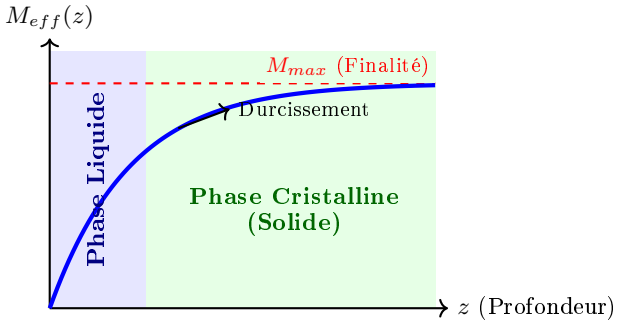

FIGURE 4. **Cristallisation de l'Histoire.** Une transaction à $z = 0$ est dans un état liquide. À mesure que z augmente, le travail accumulé "gèle" l'état, et sa masse effective tend vers une constante cosmologique.

E. Effet Meissner Temporel

L'analogie avec la supraconductivité fournit une intuition physique robuste pour la finalité. Tout comme un supraconducteur expulse les champs magnétiques externes (Effet Meissner) de son volume, le réseau Bitcoin expulse les "histoires alternatives" (branches de Double Dépense) de son registre canonique.

Nous définissons la **Probabilité de Réorganisation** $P(z)$ comme la vraisemblance qu'une attaque externe pénètre le registre jusqu'à une profondeur z. Dans l'analogie supraconductrice, cela correspond à l'intensité du champ magnétique $B(x)$ décroissant à l'intérieur du matériau. Selon les équations de London, le champ décroît comme $B(x) \sim e^{-x/\lambda_L}$, où λ_L est la longueur de pénétration de London.

Dans notre théorie effective, la "profondeur de pénétration" d'une réorganisation est inversement proportionnelle à la densité de Masse du Registre M_{tip} (la puissance du réseau). La probabilité décroît exponentiellement avec le **Travail Accumulé** ($W = M_{tip} \cdot z$) :

$$P(z) \sim e^{-\frac{M_{tip} \cdot z}{\mathcal{E}_{attaque}}} \tag{17}$$

Où $\mathcal{E}_{attaque}$ représente l'échelle d'énergie de l'attaquant (analogue au bruit thermique).

— **Masse Faible ($M \to 0$) :** La profondeur de pénétration est infinie. L'histoire est mutable (phase fluide).
— **Masse Élevée ($M \to \infty$) :** La profondeur de pénétration tend vers zéro. Le registre présente un diamagnétisme parfait face aux faussetés (phase solide).

Ceci constitue la dérivation physique de la finalité probabiliste : le registre devient un "Supraconducteur Tem-

porel" où l'histoire est figée par l'inertie de l'énergie accumulée.

TABLE I. **L'Isomorphisme Higgs-Nakamoto.** Correspondance entre concepts de physique fondamentale et protocole Bitcoin.

Physique Théorique	**Protocole Bitcoin**
Difféomorphisme Temporel (Diff($\mathbb{R}$))	Double Dépense / Histoire Mutable
Fixation de Jauge	Consensus de Nakamoto
Champ de Higgs (Φ)	Champ de Hashrate
Boson de Goldstone (ξ)	Nonce (Recherche Aléatoire)
Constante de Planck ($\hbar$)	**Action de Nakamoto** ($\kappa_N(t)$)
Terme de Masse (M_{tip})	Puissance Réseau (Watts)
Horizon des Événements (R_s)	Finalité Probabiliste ($z \approx 6$)
Défaut de Kibble-Zurek	Capitulation des Mineurs

Notez que contrairement à la constante fondamentale de Planck $\hbar$, l'Action de Nakamoto $\kappa_N(t)$ est une constante de couplage courante qui évolue avec l'état technologique du réseau (Loi de Moore), décroissant à mesure que l'efficacité thermodynamique s'améliore.

IV. GÉOMÉTRIE DE L'HORIZON ET THERMODYNAMIQUE DES TROUS NOIRS

La structure causale du registre Bitcoin ne peut être simplement décrite par une chronologie newtonienne. En raison de la finalité probabiliste, l'espace-temps du registre possède une courbure intrinsèque qui génère des horizons des événements, analogues à ceux des trous noirs de Schwarzschild.

A. Métrique de Finalité et Facteur $\Omega(z)$

Nous définissons la coordonnée radiale z comme la profondeur depuis la "Pointe" (Tip) de la chaîne ($z = 0$ au présent, $z \to \infty$ vers le bloc de Genèse). La métrique effective gouvernant la causalité des transactions est :

$$ds^2 = -\Omega(z)c_{eff}^2 dt^2 + \frac{dz^2}{\Omega(z)} \tag{18}$$

La fonction $\Omega(z)$ joue le rôle du facteur de distorsion $(1 - r_s/r)$ en Relativité Générale. Elle est dérivée de la probabilité de la Ruine du Joueur (Consensus de Nakamoto) :

$$\Omega(z) = 1 - \mathcal{P}_{reorg}(z) = 1 - \left(\frac{q}{p}\right)^z \tag{19}$$

où q est la puissance de hachage de l'attaquant et p celle des mineurs honnêtes ($p > q$).

— À $z = 0$ (Mempool/Pointe), $\Omega(0) = 0$. C'est une surface nulle. Le temps propre est nul, la causalité est fluide.

— À $z \gg 1$, $\Omega(z) \to 1$. L'espace-temps devient plat (Minkowskien) et stable.

B. Décalage vers le rouge Gravitationnel (Dilatation Temporelle)

Un observateur situé à la profondeur z perçoit le temps différemment d'un observateur à la pointe de la chaîne. La relation entre le temps propre τ d'une transaction confirmée et le temps coordonnée du réseau t est :

$$d\tau = \sqrt{g_{00}}dt = \sqrt{\Omega(z)}dt \tag{20}$$

Ceci implique un phénomène de **Dilatation Temporelle**. Pour une transaction profondément enfouie ($z \to \infty$), $d\tau \approx dt$. Mais près de l'horizon de volatilité ($z \to 0$), le temps propre ralentit. **Interprétation :** Pour un attaquant tentant de réécrire l'histoire depuis une profondeur z, le temps requis pour rattraper la chaîne honnête subit un décalage vers l'infini (Redshift Infini). L'histoire est "figée" par la gravité du travail accumulé.

C. Température de Unruh et Accélération

Pourquoi une attaque est-elle impossible ? Selon le principe d'équivalence, un mineur malhonnête essayant de créer une chaîne secrète plus longue que la chaîne publique est un observateur accéléré. Il doit fournir une "accélération" de hachage $a > a_{rseau}$. Un tel observateur perçoit le vide du réseau comme un bain thermique de particules (blocs honnêtes) à la température de Unruh T_U [9] :

$$k_B T_U = \frac{\hbar a}{2\pi c_{eff}} \tag{21}$$

Cette température représente le bruit thermodynamique détruisant la cohérence de la chaîne privée de l'attaquant. Plus la difficulté du réseau est élevée, plus l'accélération requise est forte, et plus le "vent thermique" s'opposant à l'attaquant est intense.

D. Rayonnement de Hawking à la Surface

La "Pointe" de la blockchain ($z = 0$) n'est pas un point froid ; c'est un horizon thermodynamique chaud. En raison des délais de propagation, il existe une incertitude quantique concernant l'état réel de la tête de chaîne. Cette incertitude se manifeste par l'émission de particules virtuelles devenant réelles : les **Blocs Orphelins** (Stale Blocks). La température de Hawking T_H [10] de la blockchain est inversement proportionnelle à sa "masse" (le temps de bloc cible τ_{cible}) :

$$T_H = \frac{\hbar c_{eff}^3}{8\pi G M} \propto \frac{1}{\tau_{cible}} \tag{22}$$

Ce rayonnement représente une perte d'énergie (hachage dissipé). Cependant, ce processus d'évaporation permet au système de se relaxer vers un état d'équilibre unique. Un temps de bloc trop court ($\tau \to 0$) mènerait à une température $T_H \to \infty$, vaporisant le consensus (instabilité totale).

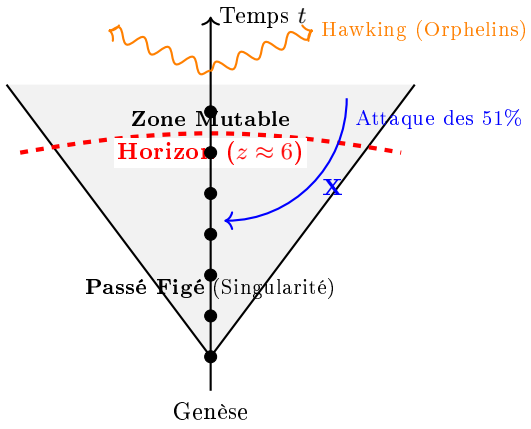

FIGURE 5. **Diagramme Causal du Registre.** Les événements situés sous l'horizon rouge sont causalement déconnectés du présent pour tout attaquant disposant d'une énergie finie. La "Pointe" émet un rayonnement thermique (orphelins) dû à l'incertitude quantique.

E. Principe Holographique et Entropie

La sécurité de Bitcoin obéit au Principe Holographique [11] de la borne de Bekenstein. L'information contenue dans le volume du registre (transactions passées) est entièrement encodée sur la surface frontière (le bloc le plus récent + l'ensemble UTXO). L'entropie du système, S_{Nak}, mesure la quantité d'aléa physique injecté pour sécuriser l'ordre logique. Elle est proportionnelle à l'aire de l'horizon des événements en unités de Planck (Hash) :

$$S_{Nak} = \frac{k_B A}{4l_P^2} = k_B \sum_{i=0}^{H} \ln(\text{Difficulté}_i) \tag{23}$$

Contrairement à un système de base de données classique où l'entropie doit être minimisée (signal pur), Bitcoin maximise son entropie thermodynamique (via la PoW) pour minimiser l'entropie de Shannon [12] de l'histoire (garantissant que le message est unique et sans équivoque).

V. STABILITÉ TOPOLOGIQUE ET TRANSITION DE PHASE

La robustesse du protocole Bitcoin ne peut être comprise uniquement par la théorie des jeux classique. Elle nécessite une analyse de la stabilité de l'ordre à longue portée dans un système statistique soumis à des fluctuations thermiques (latence réseau, blocs orphelins). Ici, nous adoptons le formalisme du modèle XY sur un réseau aléatoire.

A. Le Modèle XY sur le Graphe P2P

Nous associons une variable de phase $\theta_i \in [0, 2\pi)$ à chaque nœud $i \in V$, représentant "l'angle de consensus" (la pointe de chaîne perçue). L'interaction entre pairs cherche à aligner ces phases. L'Hamiltonien du système est donné par :

$$\mathcal{H}_{XY} = -J \sum_{\langle i,j \rangle} A_{ij} \cos(\theta_i - \theta_j) \tag{24}$$

où A_{ij} est la matrice d'adjacence pondérée du graphe P2P et $J > 0$ est la constante de couplage (rigidité), proportionnelle à la puissance de hachage accumulée. L'état fondamental correspond à un alignement global de phase $\theta_i = \theta_{consensus}$ (consensus unique).

B. Évasion du Théorème de Mermin-Wagner

Le théorème de Mermin-Wagner-Hohenberg stipule qu'aucune symétrie continue ne peut être brisée spontanément à température finie en dimension $d \leq 2$, car les fluctuations infrarouges (modes de Goldstone) divergent logarithmiquement.

$$\langle |\theta_i - \theta_j|^2 \rangle \sim \int \frac{d^d k}{k^2} \to \infty \quad (\text{pour } d \leq 2) \tag{25}$$

Cependant, la topologie du réseau Bitcoin n'est pas Euclidienne. C'est un graphe "Petit Monde" (Small-World) [13] caractérisé par une **Dimension Spectrale** d_s, définie par le comportement asymptotique de la probabilité de retour d'une marche aléatoire (diffusion de l'information) $P(t) \sim t^{-d_s/2}$. Pour un réseau P2P à faible diamètre, $d_s \gg 2$. Par conséquent, la susceptibilité magnétique diverge, permettant la stabilisation de l'ordre à longue portée (le Registre unique) malgré le bruit thermique.

C. Défauts Topologiques : Vortex

Bien que l'ordre soit possible, le système admet des excitations topologiques non triviales : les vortex. Dans le contexte blockchain, un vortex correspond à une boucle fermée de nœuds dans le réseau P2P maintenant des vues divergentes sur l'état de la chaîne (un fork localement persistant). La charge topologique (ou nombre d'enroulement) q est quantifiée par l'intégrale de contour du gradient de phase :

$$\oint_{\mathcal{C}} \nabla\theta \cdot dl = 2\pi q, \quad q \in \mathbb{Z} \tag{26}$$

Un état avec $q \neq 0$ représente une incohérence systémique insoluble par déformation continue. L'énergie d'un vortex isolé diverge avec la taille du système L :

$$E_{vortex} \approx \pi J \ln(L/a) \tag{27}$$

où a est la distance inter-nœud (latence minimale). Cette divergence d'énergie suggère que les forks isolés sont très coûteux et supprimés.

D. La Transition Berezinskii-Kosterlitz-Thouless (BKT)

Visualisation du réseau P2P comme un réseau de spins.

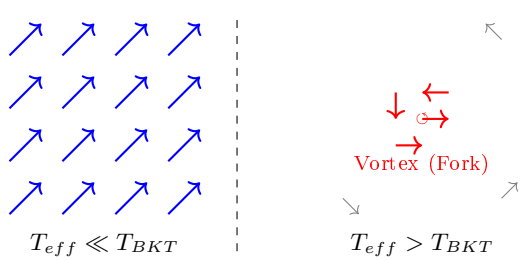

FIGURE 6. **Transition Topologique.** Gauche : les nœuds sont magnétiquement alignés (consensus). Droite : l'agitation thermique (latence) crée des défauts topologiques (vortex) qui brisent l'unicité du registre.

La stabilité réelle du consensus est déterminée par la compétition entre l'énergie du vortex et l'entropie de configuration S. L'énergie libre de Helmholtz F d'un vortex unique est :

$$F = E - TS \approx (\pi J - 2k_B T) \ln(L/a) \tag{28}$$

Ici, la "Température" T est le rapport entre la latence de propagation τ_{prop} et l'intervalle de bloc τ_{bloc}. Cette équation révèle une température critique T_{BKT} (Berezinskii-Kosterlitz-Thouless [14]) :

$$T_{BKT} = \frac{\pi J}{2k_B} \tag{29}$$

Nous identifions deux phases distinctes pour le réseau Bitcoin :

— **Phase Basse Température ($T < T_{BKT}$) :** L'énergie domine ($F > 0$). La probabilité de formation de vortex libre est nulle. Les vortex (forks) n'existent que sous forme de paires liées vortex-antivortex de petite taille (réorganisations de 1 bloc). Le champ de consensus présente un ordre à quasi-longue portée avec corrélation en loi de puissance :

$$\langle e^{i(\theta(r)-\theta(0))} \rangle \sim r^{-\eta(T)} \tag{30}$$

C'est le régime de fonctionnement nominal de Bitcoin.

— **Phase Haute Température ($T > T_{BKT}$) :** L'entropie domine ($F < 0$). Les vortex deviennent libres et prolifèrent, formant un plasma de défauts topologiques. La fonction de corrélation décroît exponentiellement :

$$\langle e^{i(\theta(r)-\theta(0))} \rangle \sim e^{-r/\xi} \tag{31}$$

Dans cette phase, le consensus global s'effondre ; le réseau se fragmente en amas incohérents.

E. Groupe de Renormalisation et Fonction Bêta

L'Algorithme d'Ajustement de la Difficulté (DAA) assure que la théorie reste invariante d'échelle malgré les fluctuations d'énergie. Nous définissons la **Fonction Bêta de Nakamoto** β_{Nak}, analogue à la fonction β de la QCD :

$$\beta_{Nak}(D) = \frac{\partial \ln D}{\partial \ln \mu} \approx \frac{1}{\ln 2} \left(1 - \frac{\langle \tau \rangle}{\tau_{cible}} \right) \tag{32}$$

Cette fonction décrit le flot de couplage.

— Si $\beta < 0$ (Production trop lente), la difficulté diminue (liberté asymptotique).

— Si $\beta > 0$ (Production trop rapide), la difficulté augmente (confinement).

L'existence d'un **Point Fixe Infrarouge Stable** à $\beta = 0$ garantit que le système ne diverge pas vers une singularité (temps de bloc nul ou infini), confinant ainsi les vortex topologiques.

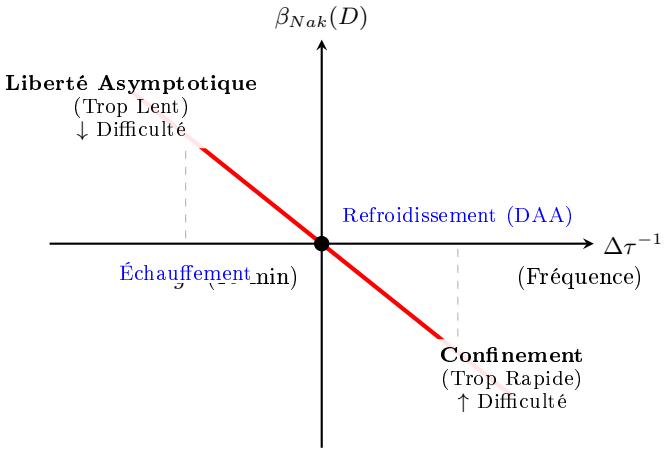

FIGURE 7. **La Fonction Bêta de Nakamoto.** Le système présente un Point Fixe Infrarouge Stable à g^*. Si la production de blocs est trop rapide ($\Delta\tau^{-1} > 0$), la constante de couplage (Difficulté) augmente (Confinement). Si trop lente, elle diminue (Liberté Asymptotique). La pente négative indique une force de rappel empêchant la singularité.

VI. DYNAMIQUE HORS ÉQUILIBRE ET MÉCANISME DE KIBBLE-ZUREK

La chaîne temporelle de Nakamoto fonctionne comme une structure dissipative. Elle crée de l'ordre à partir du chaos via un processus irréversible [15]. Elle maintient son état de basse entropie (consensus) loin de l'équilibre uniquement grâce à la consommation continue et irréversible d'énergie.

Le "Halving" n'est pas une simple mise à jour paramétrique ; c'est un choc thermodynamique violent appliqué à un système complexe. Nous modélisons cet événement comme un **Trempage Quantique** ("Quantum

Quench") global : une modification instantanée de l'Hamiltonien du système à $t = t_H$, forçant le champ de hashrate Φ à évoluer unitairement vers un nouvel état fondamental.

A. L'Hamiltonien Dépendant du Temps

Le potentiel effectif $V(\Phi)$ est piloté par le potentiel chimique $\mu(t)$ (rentabilité du minage). Ce potentiel subit une discontinuité de type fonction échelon de Heaviside Θ au moment du Halving :

$$\mu(t) = \mu_0 \left[1 - \frac{1}{2}\Theta(t - t_H)\right] + \delta\mu_{frais}(t) \tag{33}$$

L'Hamiltonien change soudainement de $\mathcal{H}_i$ (initial) à $\mathcal{H}_f$ (final). L'état du système $|\Psi(t_H^-)\rangle$, qui était l'état fondamental de $\mathcal{H}_i$, devient un état excité (superposition d'états propres) de $\mathcal{H}_f$. Le paramètre d'ordre (hashrate d'équilibre) doit transiter de v_i à v_f :

$$v_f \approx v_i \cdot \sqrt{\frac{1}{2} \cdot \frac{P(t)}{P(t_H)}} \tag{34}$$

où $P(t)$ est le prix de l'actif externe. Si le prix ne double pas instantanément, $v_f < v_i$, impliquant une destruction nécessaire de matière (capitulation des mineurs).

B. Le Mécanisme de Kibble-Zurek (KZM)

La transition entre les deux vides ne peut être parfaitement adiabatique car la vitesse de l'information (ajustement économique) est finie. Le mécanisme de Kibble-Zurek [16, 17] prédit la formation de défauts topologiques lorsque la symétrie est brisée trop rapidement.

Nous définissons le **Temps de Relaxation** du système τ_{rel}, qui diverge près du point critique selon l'exposant critique dynamique $z\nu$:

$$\tau_{rel}(\epsilon) = \frac{\tau_0}{|\epsilon|^{z\nu}}, \quad \text{où } \epsilon(t) = \frac{\mu(t) - \mu_c}{\mu_c} \tag{35}$$

Puisque le Halving est instantané (Bloc N vs $N+1$), l'échelle de temps du trempage τ_Q est effectivement limitée par l'intervalle de bloc ($\tau_{bloc} \approx 10$ min). Cela place le système immédiatement dans le **Régime Impulsif** ($\tau_Q < \tau_{rel}$), où le système "gèle" et ne peut suivre le nouvel équilibre de manière adiabatique.

Ceci génère une densité de défauts n (domaines de vide où $\Phi \to 0$, c.-à-d. fermes de minage arrêtées) :

$$n \sim \left(\frac{1}{\tau_Q}\right)^{\frac{d\nu}{1+z\nu}} \tag{36}$$

Physiquement, ces défauts correspondent à des "capitulations" soudaines, créant des trous temporaires dans la métrique de sécurité (difficulté agrégée plus faible) avant que le système ne se relaxe.

C. Ralentissement Critique (Critical Slowing Down)

Une conséquence directe de l'aplatissement du potentiel $V(\Phi)$ est la diminution de la force de rappel vers l'équilibre. La variance des fluctuations temporelles (temps inter-bloc Δt) diverge :

$$\text{Var}(\Delta t) \propto \chi \sim |\mu - \mu_c|^{-\gamma} \tag{37}$$

Ce phénomène, connu sous le nom de **Ralentissement Critique**, se manifeste par une instabilité temporaire dans la production de blocs juste après le Halving. Le système devient "mou" : de petites perturbations de hashrate entraînent de grandes déviations du temps moyen de bloc, augmentant le risque de branches orphelines.

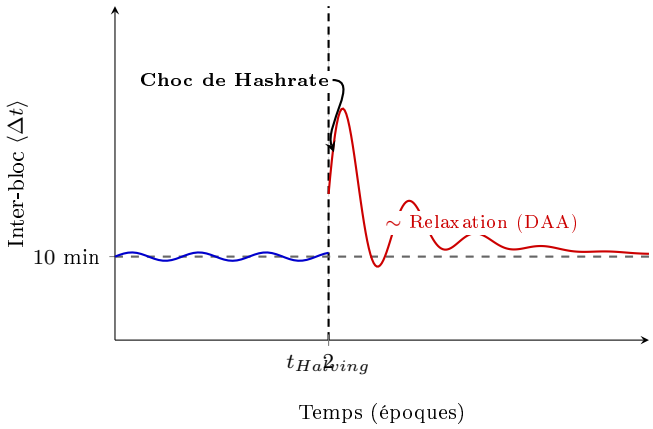

FIGURE 8. **Trempage Quantique.** Réponse dynamique au Halving. La volatilité ("Ralentissement Critique") est amortie via l'ajustement de difficulté (DAA).

D. Dynamique de Relaxation et DAA

Le système ne s'effondre pas (spirale de la mort) grâce au mécanisme de rétroaction négative discrète : l'Ajustement de Difficulté (DAA). Nous modélisons le DAA comme une transformation par carte discrète (carte de Poincaré) appliquée tous les 2016 blocs :

$$D_{n+1} = D_n \cdot \mathcal{F}\left(\frac{\sum_{i=1}^{2016} \Delta t_i}{T_{cible}}\right) \tag{38}$$

Pour assurer la stabilité, la fonction de réponse $\mathcal{F}$ doit satisfaire le critère de stabilité de Lyapunov. Le Halving pousse le système loin de son point fixe attracteur. Le retour à l'équilibre suit une relaxation exponentielle amortie :

$$\Phi(t) \sim \Phi_{final} + Ae^{-t/\xi_t}\cos(\omega t + \phi) \tag{39}$$

Le "Halving" est donc l'injection périodique d'entropie qui teste la résilience topologique du réseau, agissant comme un filtre évolutif éliminant les agents (mineurs) à faible efficacité thermodynamique, purifiant ainsi le champ Φ.

VII. CONCLUSION : VERS UNE THERMODYNAMIQUE DU CONSENSUS

Au terme de cette analyse, il apparaît que le protocole de Nakamoto peut être modélisé efficacement par les outils de la physique statistique. En appliquant les principes de la Théorie des Champs et de la Thermodynamique Hors Équilibre, nous avons illustré comment Bitcoin opère une forme de **Cristallisation Informationnelle**, via la création d'un temps thermique synthétique, transformant l'énergie brute en ordre numérique stable.

A. Brisure de Symétrie et Ancrage Physique

Le problème fondamental des registres distribués classiques réside dans l'absence d'un référentiel temporel absolu. Bitcoin résout ce problème en brisant la symétrie de jauge temporelle par l'introduction d'un coût énergétique. Le mécanisme de Preuve de Travail couple l'information à l'énergie, ancrant ainsi le "temps logique" (mutable) dans le "temps physique" (irréversible).

B. Le Bloc comme "Quanta d'Histoire"

Plutôt que d'invoquer de nouvelles particules, nous considérons le bloc validé comme un soliton topologique au sein du réseau. Cette entité présente des caractéristiques analogues à la matière : inertie temporelle (résistance à la réorganisation) et causalité entropique (réduction locale de l'incertitude).

C. Dualité Masse-Information et Amplification

Pour formaliser la nature exacte de la "masse" du registre, nous invoquons le principe d'équivalence Masse-Énergie-Information proposé par Vopson [18]. Si l'information est une forme de matière, un seul bit possède une masse physique m_{bit} dérivée du principe de Landauer [4] :

$$m_{bit} = \frac{k_B T \ln 2}{c^2} \tag{40}$$

La blockchain Bitcoin complète ($\approx$ 600 GB, ou N_{bits}) possède ainsi une infime **Masse Informationnelle Baryonique** :

$$M_{info} = N_{bits} \cdot m_{bit} \approx 1.5 \times 10^{-25}\,\text{kg} \tag{41}$$

Ce résultat soulève un paradoxe : comment un objet physiquement plus léger qu'un atome peut-il immobiliser une valeur économique colossale ? La réponse réside dans le **Facteur d'Amplification Thermodynamique** $\mathcal{A}$. Bitcoin ne cherche pas l'efficacité (minimiser l'énergie par bit), mais la sécurité (maximiser l'énergie par bit). Nous définissons $\mathcal{A}$ comme le rapport entre l'énergie réelle dissipée par la PoW et la limite de Landauer pour toute la chaîne :

$$\mathcal{A}(t) = \frac{E_{PoW}(t)}{N_{bits} \cdot E_{Landauer}} \approx 10^{28} \tag{42}$$

Ce facteur adimensionnel agit comme un "multiplicateur de réalité". Il nous permet de définir la **Masse Effective** M_{eff} du registre, qui courbe l'espace-temps économique. En combinant les termes, le nombre de bits N_{bits} s'annule :

$$M_{eff} = M_{info} \cdot \mathcal{A} = \left(N_{bits} \cdot \frac{k_B T \ln 2}{c^2} \right) \cdot \left(\frac{E_{Total}}{N_{bits} \cdot k_B T \ln 2} \right) \tag{43}$$

Ceci se simplifie élégamment pour retrouver l'équivalence d'Einstein :

$$M_{eff} = \frac{E_{Total\ PoW}}{c^2} \tag{44}$$

Cette dérivation nous ramène inévitablement à l'intuition fondatrice d'**Albert Einstein** [19]. Bitcoin est la première démonstration à l'échelle macroéconomique que l'information, une fois ancrée par un travail suffisant, acquiert les propriétés inertielles de la masse. Physiquement, la blockchain est légère ($M_{info} \to 0$). Économiquement, elle est super-massive ($M_{eff} \to \infty$). Bitcoin se comporte ainsi comme un **"Condensat de Bose-Einstein Monétaire"** : un objet quantique (information) qui acquiert des propriétés macroscopiques (inertie) par un pompage énergétique intense.

D. Perspective : Géants des Sciences

Ce travail suggère que **Satoshi Nakamoto** [1] ne doit pas être considéré simplement comme un cryptographe, mais comme un physicien appliqué de premier ordre. Tout comme Watt a exploité la thermodynamique pour construire la machine à vapeur, Nakamoto a exploité les lois de la probabilité et de l'énergie pour construire le "Moteur de Confiance". En transformant l'énergie en vérité immuable, le protocole Nakamoto s'impose comme un artefact physique autant que computationnel. En couplant l'histoire à l'énergie, le protocole Nakamoto valide la vision selon laquelle le temps est fondamental et irréversible, faisant écho aux arguments de **Smolin** sur la réalité du temps [20], contrastant avec l'univers-bloc intemporel de la relativité classique. Le protocole agit comme la grande synthèse des géants cités dans ce papier : il unifie la théorie de l'information de **Shannon**, la thermodynamique de **Landauer**, la brisure de symétrie de **Higgs**, la relativité d'**Einstein** et enfin, la monnaie asymptotiquement idéale de **Nash** [21].

"Vires in Numeris" (La Force dans les Nombres) trouve ici son corollaire physique ultime : *"Veritas in Energia"* (La Vérité dans l'Énergie).

Nous suggérons que le Protocole de Confiance a le potentiel d'unir l'Humanité sous un consensus temporel unique basé sur la Science et maintenu par l'intelligence collective de l'Humanité. Il reste à voir si l'Action de Nakamoto, en tant que constante de couplage courante,

pourra un jour rattraper la valeur de Planck ($\hbar$). Les travaux futurs pourraient se concentrer sur l'Univers Bimétrique et des applications en chrono-Thermodynamique pour la médecine, la restauration d'écosystème ou la lutte climatique.

---

[1] Satoshi Nakamoto. Bitcoin : Un système de monnaie électronique pair-à-pair. 2008. Article fondateur décrivant la chaîne de preuve de travail.

[2] Nick Szabo. Shelling out : Les origines de la monnaie. *Satoshi Nakamoto Institute*, 2002. Théorie anthropologique du coût infalsifiable (Unforgeable Costliness).

[3] Giorgio Parisi and Yong-Shi Wu. Théorie des perturbations sans fixation de jauge. *Sci. Sin.*, 24, 1981. Quantification stochastique et introduction du temps fictif.

[4] Rolf Landauer. Irréversibilité et génération de chaleur dans le processus de calcul. *IBM Journal of Research and Development*, 5, 1961. Limite thermodynamique du calcul et coût entropique de l'effacement.

[5] Peter W. Higgs. Symétries brisées et masses des bosons de jauge. *Phys. Rev. Lett.*, 13, 1964. Mécanisme de génération de masse (inertie) via la brisure de symétrie.

[6] Alain Connes and Carlo Rovelli. Automorphismes d'algèbres de von neumann et relation temps-thermodynamique dans les théories quantiques généralement covariantes. *Classical and Quantum Gravity*, 11 :2899, 1994. Établissement du temps par l'ignorance statistique (Hypothèse du temps thermique).

[7] Richard Arnowitt, Stanley Deser, and Charles W. Misner. La dynamique de la relativité générale. *Gravitation : An Introduction to Current Research*, 1962. Formalisme canonique de la relativité générale (décomposition 3+1).

[8] V.L. Ginzburg and L.D. Landau. Sur la théorie de la supraconductivité. *Zh. Eksp. Teor. Fiz.*, 20 :1064, 1950. Origine du potentiel en chapeau mexicain (Sombrero).

[9] William G. Unruh. Évaporation expérimentale de trou noir ? *Phys. Rev. Lett.*, 46, 1981. Rayonnement thermique perçu par un observateur accéléré.

[10] S. W. Hawking. Création de particules par les trous noirs. *Communications in Mathematical Physics*, 43, 1975. Rayonnement thermique des horizons des événements.

[11] Gerard 't Hooft. Réduction dimensionnelle en gravité quantique. *arXiv :gr-qc/9310026*, 1993. Le principe holographique et la conservation de l'information de surface.

[12] Claude E. Shannon. Une théorie mathématique de la communication. *Bell System Technical Journal*, 27, 1948. Fondements de l'entropie de l'information.

[13] A.-L. Barabási and R. Albert. Émergence de l'invariance d'échelle dans les réseaux aléatoires. *Science*, 286, 1999. Réseaux invariants d'échelle (scale-free) et attachement préférentiel.

[14] J. M. Kosterlitz and D. J. Thouless. Mise en ordre, métastabilité et transitions de phase dans les systèmes bidimensionnels. *Journal of Physics C : Solid State Physics*, 6, 1973. Transition de phase topologique et formation de vortex (BKT).

[15] Ilya Prigogine. *La Fin des certitudes*. The Free Press, 1997. Création d'ordre à partir du chaos via des processus dissipatifs irréversibles.

[16] T. W. B. Kibble. Topologie des domaines cosmiques et des cordes. *J. Phys. A*, 9, 1976. Formation de défauts topologiques lors des transitions de phase.

[17] W. H. Zurek. Expériences cosmologiques dans l'hélium superfluide ? *Nature*, 317, 1985. Analogies cosmologiques dans les systèmes condensés (Mécanisme KZM).

[18] Melvin M. Vopson. Le principe d'équivalence masse-énergie-information. *AIP Advances*, 9, 2019. Principe d'équivalence physique entre masse, énergie et information.

[19] Albert Einstein. L'inertie d'un corps dépend-elle de son contenu en énergie ? *Annalen der Physik*, 18 :639–641, 1905. Dérivation originale de l'équivalence masse-énergie ($E = mc^2$).

[20] Lee Smolin. *La renaissance du temps : De la crise de la physique à l'avenir de l'univers*. Houghton Mifflin Harcourt, 2013. Argument en faveur de la réalité physique et de la nature fondamentale de l'évolution temporelle.

[21] John F. Nash. Ideal money (l'argent idéal). *Southern Economic Journal*, 69(1) :4–11, 2002. Proposition pour un étalon monétaire asymptotiquement stable.